

ФІЗИКО-МЕХАНІЧНІ ПРОЦЕСИ ПІД ЧАС КОНТАКТНОГО ЗВАРЮВАННЯ ТА НАПЛАВЛЕННЯ З ВИКОРИСТАННЯМ НАНОВУГЛЕЦЕВИХ МАТЕРІАЛІВ

Студент 2 курсу гр.3В-16м

Осадчук А. А.

Спеціальність 132

“Матеріалознавство”

Керівник д.т.н., проф. каф. ТПЗ Савуляк В. І.

Актуальність

- Відновлення деталей та підвищення їх зносотійкості дозволяє значно покращити техніко економічні показники використання техніки.
- Для підвищення ефективності та якості відновлення деталей було запропоновано навугоцювання відновлених деталей, також можливість їх легування у процесі наплавлення і визначення точності наплавлених заготовок.
- Важливу роль у розв'язанні означеніх завдань відіграють технології, що ґрунтуються на використанні наноматеріалів або нанотехнологій.

Головними завданнями цієї кваліфікаційної роботи :

- Дослідження процесу контактного плавлення та умови його початку.
- Запропонувати та дослідити електроконтактній спосіб навуглецьовування.
- Визначення оптимального методу використання явища контактного плавлення для отримання зносостійких покривтів.
- Розробити дослідну установку для електроконтактного навуглецьовування сталевих поверхонь.
- Розробка методу визначення точності наплавлених заготовок при автоматичному електродуговому наплавленні.
- Розробка технологічного процесу відновлення деталі

Умови початку контактного плавлення

- Контактне плавлення (КП) виникає під час нагрівання контакту двох (або більше) різнорідних кристалів, при якому з'являється рідина при температурі нижче температури плавлення кожного з кристалів, що контактиують.
- Для початку КП необхідний тісний контакт кристалів, що утворюють евтектичну пару, але попередніми дослідженнями не враховували те, що на поверхнях цих кристалів завжди присутні адгезійні та оксидні шари. Так на приклад , якщо адгезійних нашарувань можна при певних умовах позбутися, то оксидних, практично, ні. Так оксидний шар на поверхні тільки що розірваного зразка вибудовується за міліардну частку секунди, при тиску 10^{-6} мм рт. ст. - за 2 с., при тиску 10^{-9} мм рт. ст. - за 30 хв., в космічному вакуумі - за 7 років.

Тому для початку КП необхідно зруйнувати ці плівки. Основною умовою для їх руйнації, як і при зварюванні тиском, є пластична деформація та розрив цих плівок на окремих ділянках.

Контактне плавлення в системі Fe - С (графіт) у нестационарному конвекційному режимі

Після початку контактного плавлення при звичайному дифузійному режимі середнє значення концетрації буде завжди приблизно по середині між лініями ліквідуса . У зв'язку з тим, що графітна лінія ліквідуса більш крутa то середнє значення концетрації карбону у рідкій фазі при КП в системі Fe-C буде доевтектичним.

Але при використанні дисперсних матеріалів та конвекційного режима масопереносу у рідкій фазі можливе відхилення від цієї закономірності.

Для цього використаємо феноменологічне рівняння Щукарєва

$$\frac{dC}{d\tau} = K_p \cdot (C_L - C) \cdot S$$

де K_p – константа швидкості розчинення;

C_L – концентрація насиченого рідкого розчину; C – поточна концентрація рідкого розчину;
 S – площа контакту твердої і рідкої речовини.

У випадку розчинення у рідкому розчині одночасно двох компонентів, а для нашого випадку це залізо та вуглець схема процесу буде відповідати схемі, представлений на рисунку

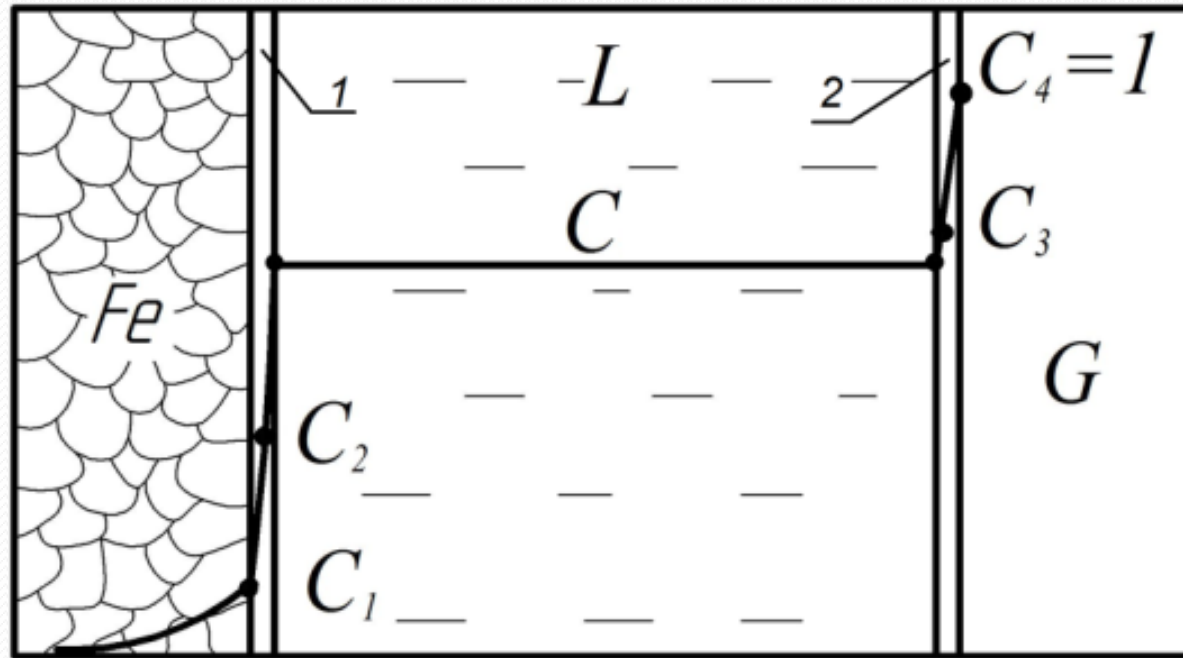


Схема контактного плавлення в системі $Fe - C$ у конвекційному не стаціонарному режимі. G – вуглець; L – рідкий сплав; 1, 2 – приграничні шари

Процесом переносу атомів з рідини у тверду фазу, та подальшій дифузії у ній ми нехтуємо. Тоді цей процес можна описати системою рівнянь

$$\begin{cases} \frac{dC^{Fe}}{d\tau} = K_{pFe} \cdot (C_2^{Fe} - C^{Fe}) \cdot S_{Fe}; \\ \frac{dC^C}{d\tau} = K_{pC} \cdot (C_3^C - C^C) \cdot S_C; \end{cases}$$

де K_{pFe} - константа швидкості розчинення заліза;

K_{pC} - константа швидкості розчинення вуглецю;

S_{Fe} - площа контакту між залізом і розплавом; S_C - площа контакту між дисперсним вуглецем і розплавом;

C_2^{Fe} - концентрація насиченого розчину компонентом Fe ;

C_3^C - концентрація насиченого розчину компонентом C ; C^{Fe} - поточна концентрація Fe ; C^C - поточна концентрація C .

Однак

$$C^{Fe} + C^C = 1$$

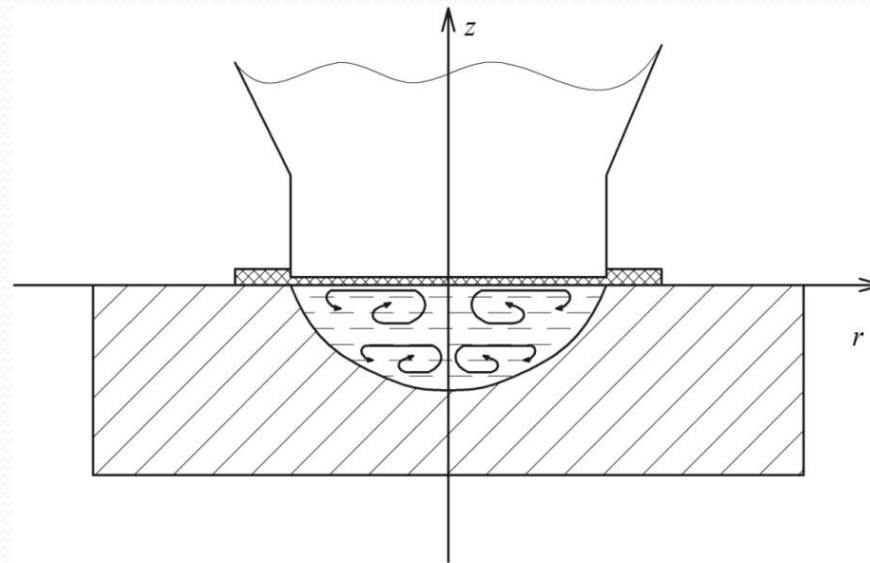
- Виконавши математичні перетворення і введення змінних
- Тоді рівняння набуває вигляду

$$C = \frac{m \cdot C_3 - n \cdot C_2}{m - n}.$$

- Виходячи із рівняння бачимо, що при збільшенні співвідношення площин контактування вуглецевого матеріалу з розплавом до площин контактування заліза чи залізовуглецевого сплаву (m) концентрація вуглецю в розплаві буде наблизятися до концентрації, що відповідає графітному ліквідусу (C_3) при заданій температурі контактного плавлення. А при наближенні цього співвідношення до нескінченності, значення концентрації вуглецю у розплаві буде:

$$\lim_{m \rightarrow \infty} \frac{m \cdot C_3 - n \cdot C_2}{m - n} = \frac{C_3 - \frac{n \cdot C_2}{m}}{1 - \frac{n}{m}} = C_3.$$

- Таким чином при використанні дисперсних вуглецевих матеріалів, у яких поверхнева площа контакту буде в сотні або тисячі разів більша ніж залізовуглецевого сплаву дає можливість отримати поверхневий шар з заевтектичним вмістом вуглецю і мати у своїй структурі не тільки ледебурит, але і первинний цементит.
- А конвекційний режим забезпечується електромагнітним перемішуванням при електроконтактних процесах схожих, що проходять при контактному зварюванню
- Так наприклад при проходженні струму через графітовий електрод у рідкий метал цей рідкий метал перемішується



Вуглецеві наноматеріали та контактактне плавлення у дисперсних системах

- Наноматеріали - матеріали із наночасток розмірами (принаймні, один розмір) від 1 до 1000 нм, але зазвичай до нанооб'єктів відносять матеріали, розмір яких становить від 1 до 100 нм
- Вуглецеві наноматеріали це фулерени, графенові пластівці та вуглецеві нанотрубки, в яких один із вимірів може бути менше нанометра
- У рідку ванну нашого матеріалу фулерени попадають із нашого вуглецево-дисперсного матеріалу.
- Фулерен є модифікуючою добавкою. Крім того має розвинуту поверхню.
- В евтектичних дисперсних системах спостерігається зниження температури евтектичного перетворення до 18 К

Дослідження можливості шовного електроконтактного навуглецьування

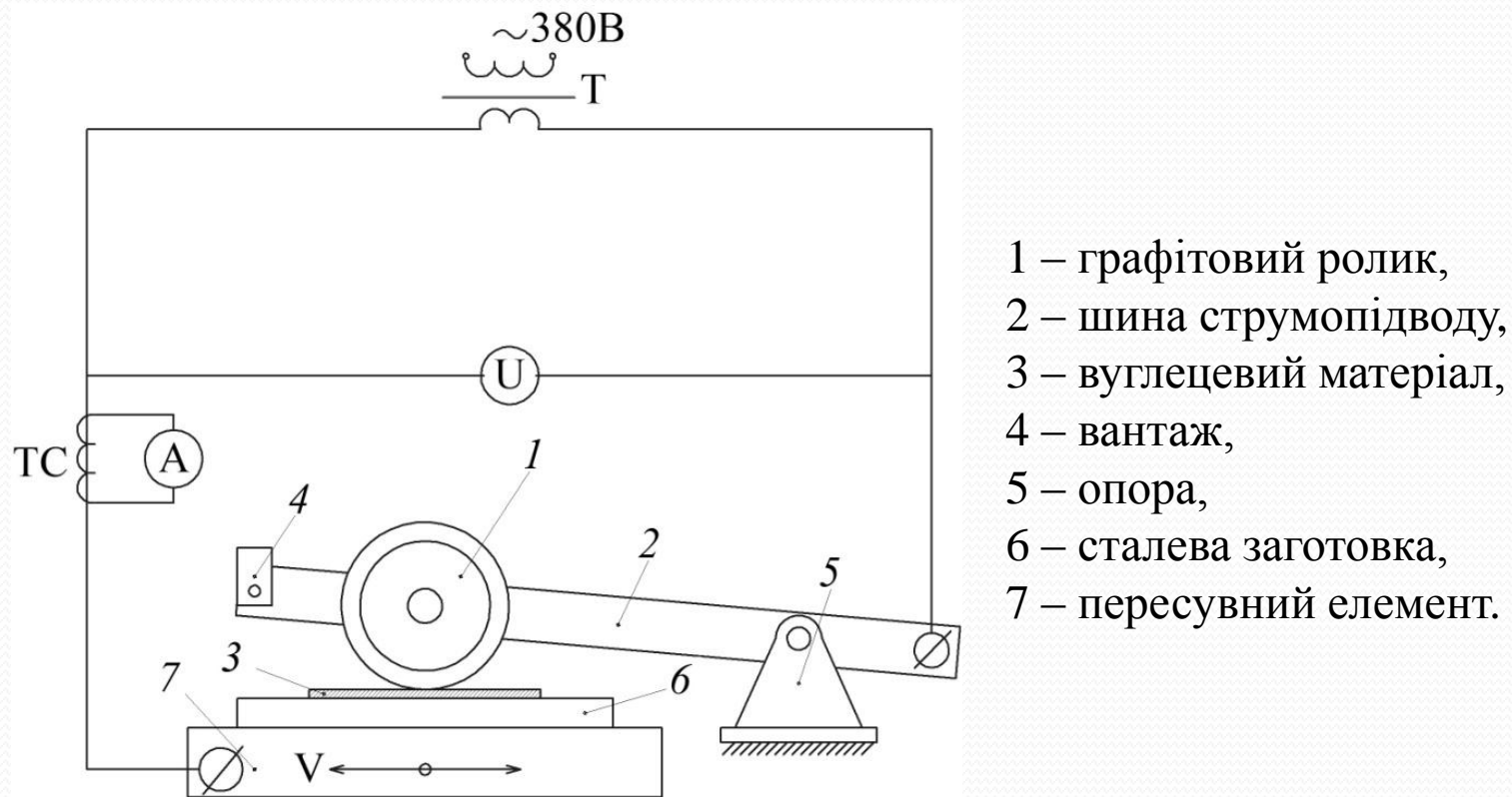
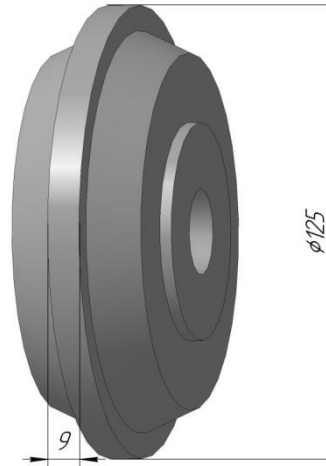
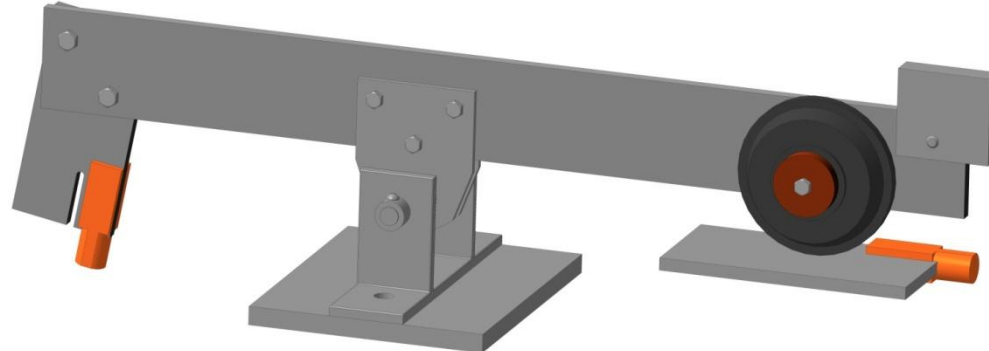
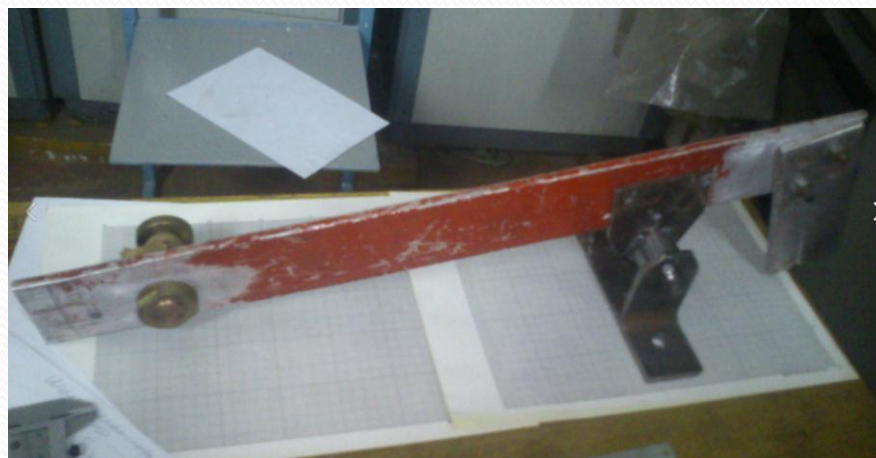


Рисунок 4.6 – Схема установки для формування на сталевій поверхні високовуглецевого шару

- Даний метод відрізняється простотою, надійністю та дозволить формувати зносостійкі високовуглецеві шари, що мають гарне зчеплення з основним металом.
- Розроблено модель установки в середовищі Компас - 3D V16 3d для електроконтактного навуглецьовування



- Надалі була виготовлена установка та проведені досліди навуглецьовування поверхні зразка із сталі Ст 3 сп ДСТУ 2651:2005 товщиною 10 мм.



- Режими при яких відбувався процес електроконтактного навуглецовування у системі залізо вуглець
- Процес навуглецьовування проводився за режимом:
- струм – 2600 А;
- напруга – 5,5 В;
- сила притискання ролика - 200 Н;
- швидкість пересування зразка відносно ролика – 1 см/с.

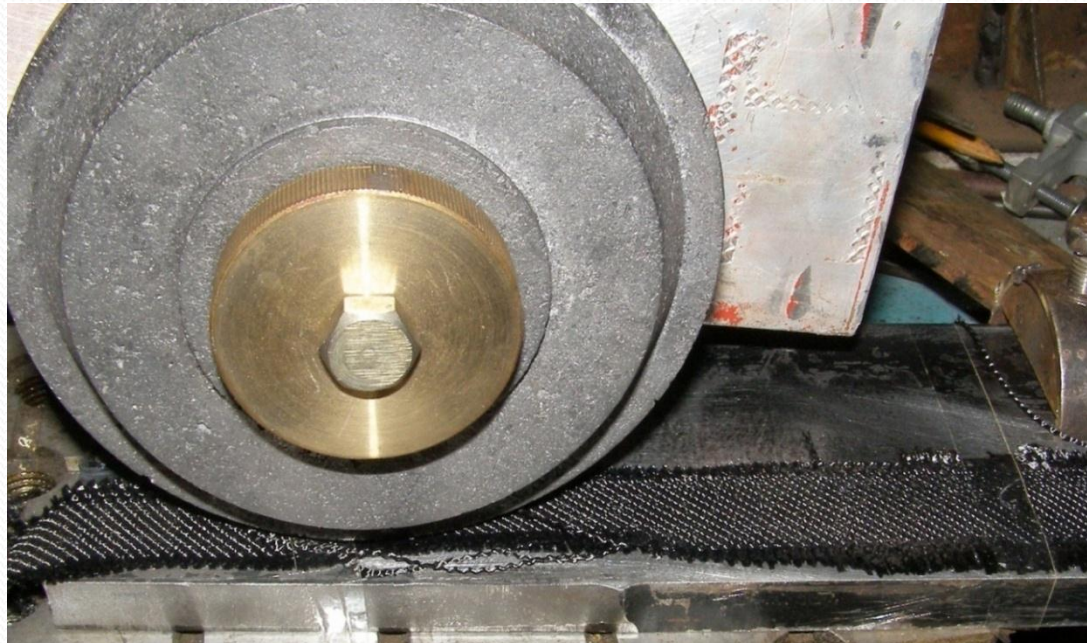


Схема досліду навуглецьовування



Вигляд зразка після електроконтактного навуглецьовування. У верхній частині через один шар ВВМ, у нижній – через два

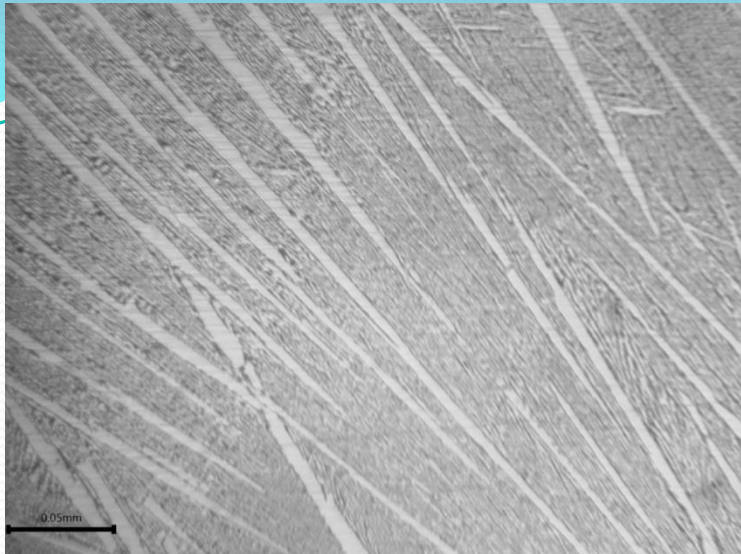
- З навуглецованих зразків спочатку були виготовлені макрошліфи



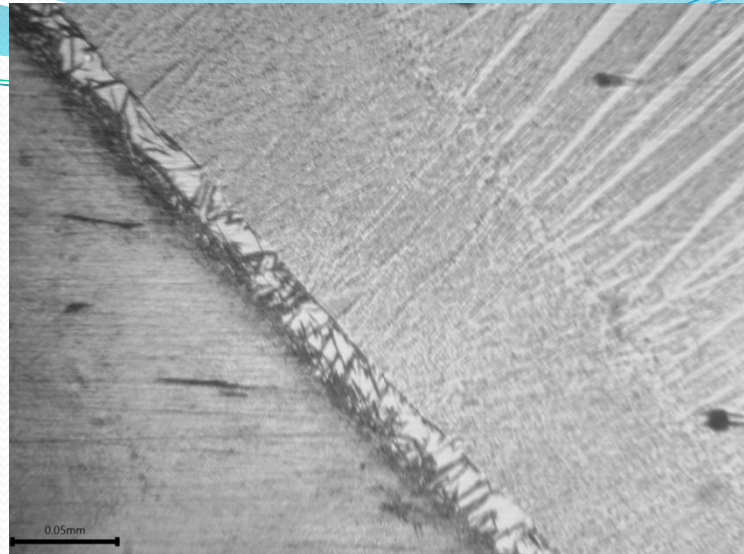
Макрошліф навуглецованого зразка.
ВВМ в один шар



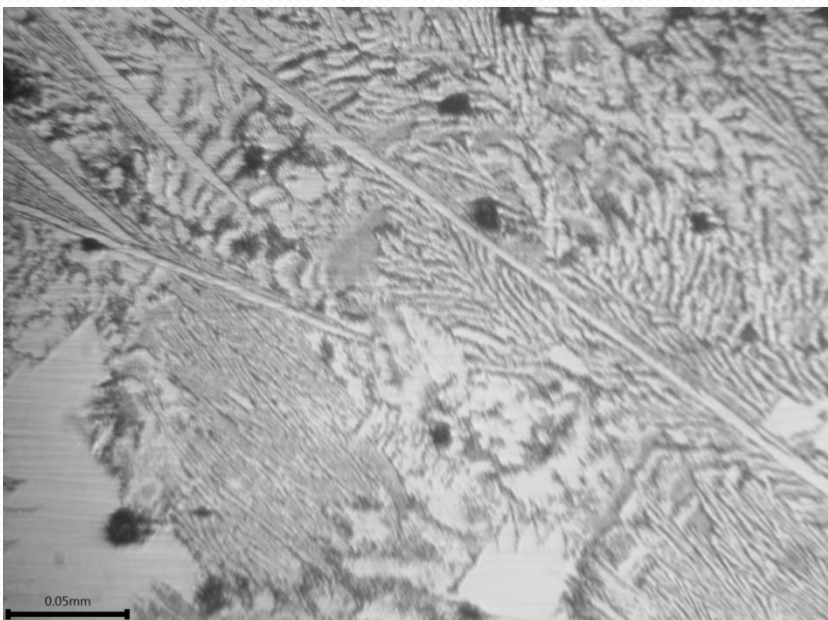
Макрошліф навуглецованого зразка.
ВВМ в два шари



Мікроструктура основної частини навутглецьованого зразка



Мікроструктура навутглецьованого зразка на межі с основним металом



Мікроструктура навутглецьованого зразка на межі с основним металом

Мікроаналіз

Основна площа оплавленої ділянки має дендритну структуру за евтектичного білого чавуну із приблизним вмістом карбону 4,8 – 5,2%, що показано на рис. В структурі яскраво видно голки цементиту в ледебуриті.

На представлений мікроструктурі на межі між оплавленим металом та основним. Спочатку іде «світлий шар» у вигляді тонкої полоси, а потім таж сама структура, що і у основного металу, але більш тонка та дисперсна. Це пояснюється тим, що швидкість охолодження на межі основний метал – оплавлений навуглецований метал більша. В ній з'являється більша кількість центрів кристалізації.

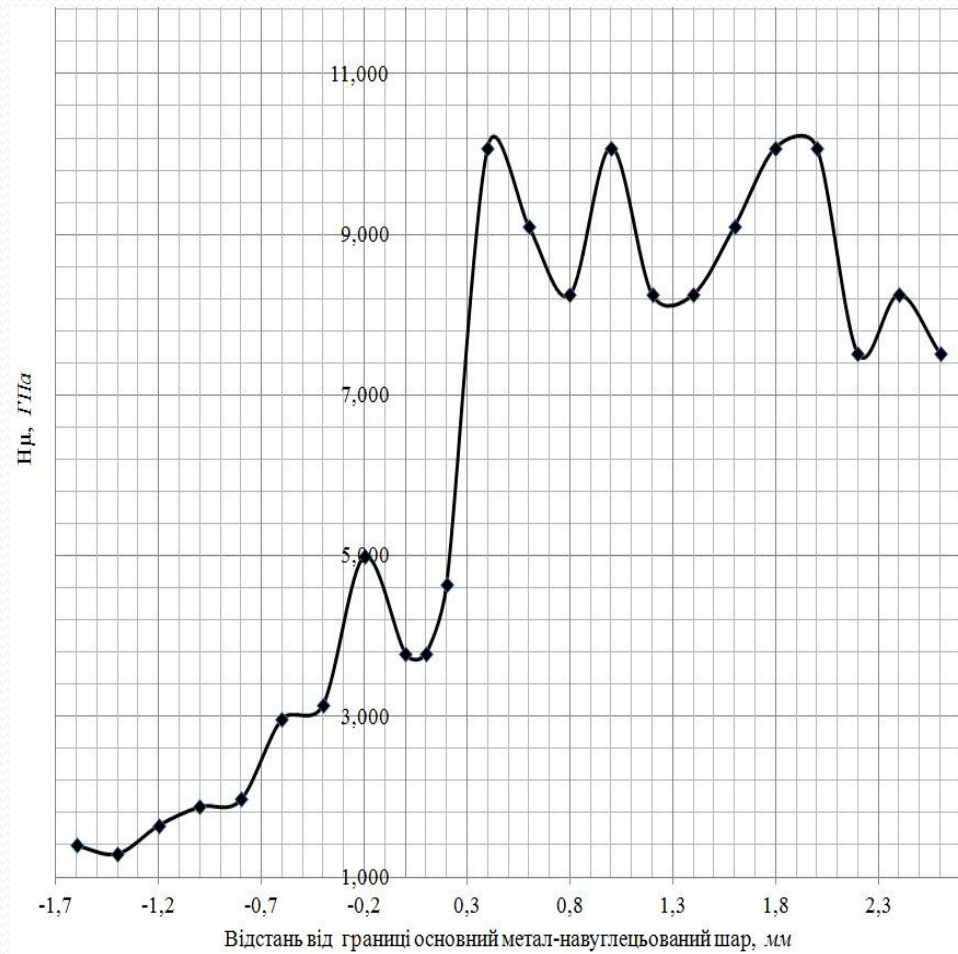
На відстані близько 0,4 – 0,5 мм від поверхні по центру оплавленої зони спостерігається зменшення кількості первинного цементиту, більш груба будова ледебурита також включення грфаріту

Дюрометричний аналіз

Мікротвердість основного металу та наплавленого шару в залежності від відстані від границі підложка-наплавлений шар для навуглецьваного одним шаром ВВМ зразка

№	m, g	P, H	α, rad	d, мкм	H_μ, GPa
	50	0,4905	2,3737		
	відстань, мм	d1, мкм	d2, мкм		
1	-1,6	26	25	25,5	1,3988
2	-1,4	26	27	26,5	1,2952
3	-1,2	23	24	23,5	1,6470
4	-1	22	22	22	1,8793
5	-0,8	21	22	21,5	1,9677
6	-0,6	17	18	17,5	2,9700
7	-0,4	17	17	17	3,1473
8	-0,2	13	14	13,5	4,9908
9	0	16	15	15,5	3,7859
10	0,1	16	15	15,5	3,7859
11	0,2	14	14	14	4,6407
12	0,4	9	10	9,5	10,0783
13	0,6	10	10	10	9,0957
14	0,8	11	10	10,5	8,2500
15	1	9	10	9,5	10,0783
16	1,2	10	11	10,5	8,2500
17	1,4	10	11	10,5	8,2500
18	1,6	10	10	10	9,0957
19	1,8	9	10	9,5	10,0783
20	2	9	10	9,5	10,0783
21	2,2	11	11	11	7,5171
22	2,4	10	11	10,5	8,2500
23	2,6	11	11	11	7,5171

Залежність мікротвердості навуглецьованого шару від відстані від границі основний метал – навуглецьований шар для зразка навуглецьованого одним шаром ВВМ

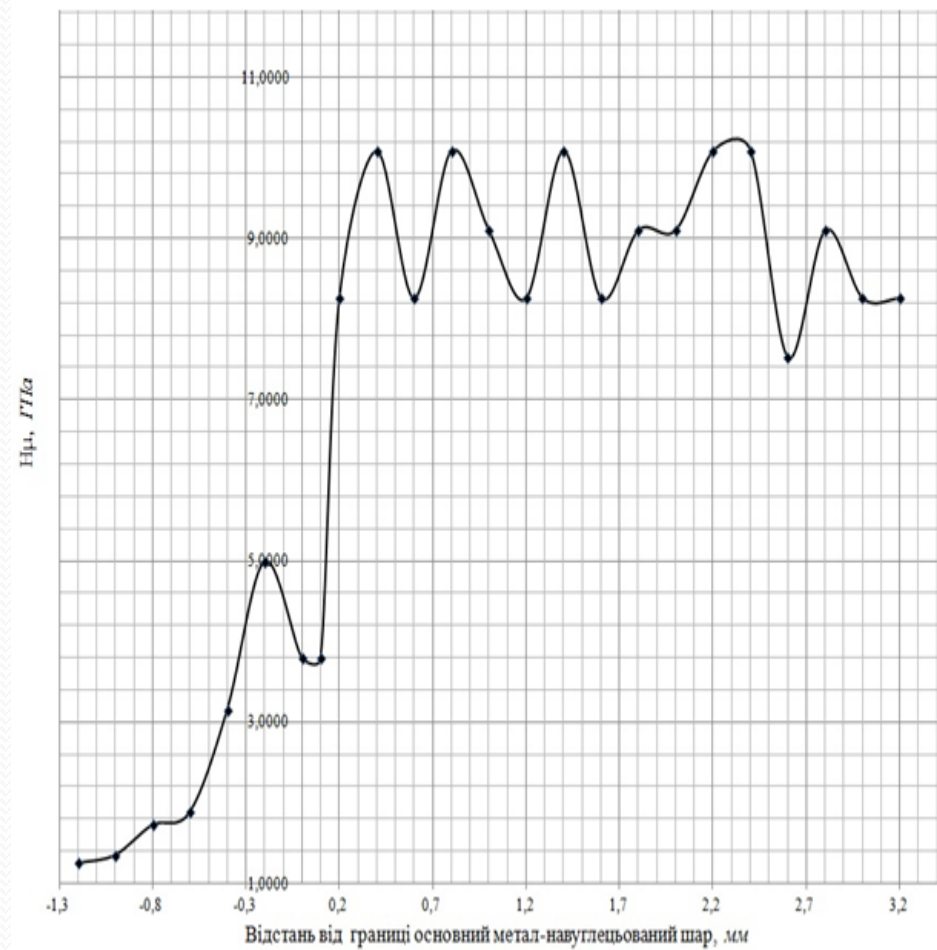


Дюрометричний аналіз

Мікротвердість основного металу та наплавленого шару в залежності від відстані від границі підложка-наплавлений шар для навуглецьваного двома шарами ВВМ зразка

№	m, г	P, Н	α, rad	d, мкм	H _μ , ГПа
	50	0,4905	2,3737		
	відстань, мм	d ₁ , мкм	d ₂ , мкм		
1	-1,2	27	27	27	1,2477
2	-1	25	27	26	1,3455
3	-0,8	23	23	23	1,7194
4	-0,6	22	22	22	1,8793
5	-0,4	17	17	17	3,1473
6	-0,2	13	14	13,5	4,9908
7	0	16	15	15,5	3,7859
8	0,1	16	15	15,5	3,7859
9	0,2	10	11	10,5	8,2500
10	0,4	10	9	9,5	10,0783
11	0,6	11	10	10,5	8,2500
12	0,8	9	10	9,5	10,0783
13	1	10	10	10	9,0957
14	1,2	11	10	10,5	8,2500
15	1,4	9	10	9,5	10,0783
16	1,6	10	11	10,5	8,2500
17	1,8	10	10	10	9,0957
18	2	10	10	10	9,0957
19	2,2	9	10	9,5	10,0783
20	2,4	9	10	9,5	10,0783
21	2,6	11	11	11	7,5171
22	2,8	10	10	10	9,0957
23	3	11	10	10,5	8,2500
24	3,2	11	10	10,5	8,2500

Залежність мікротвердості навуглецьованого шару від відстані від границі основний метал – навуглецьований шар для зразка навуглецьованого двома шарами ВВМ зразка

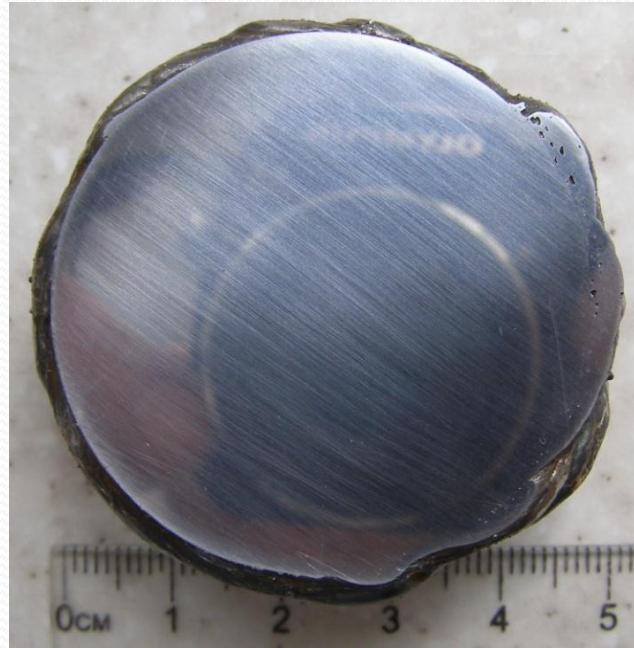


- Данні вимірювань свідчать про те, що основна частина насыщеного карбоном зразка має структуру білого заевтетичного чавуну. Коливання мікротвердості викликано з тим, що індентор періодично попадає на різні структурні сладові. У ледебурита та первинного цементита різні мікротвердості. Так для первинного цементиту (при швидкому охолодженні) $H\mu = 9,12 - 10,29$ ГПА, для ледебуриту $H\mu = 7,35 - 8,63$ ГПа . Світла полоса на межі між основним і оплавленим металом за мікротвердістю та структурою, швидше за все, залишковий аустеніт.

Дослідження можливості навуглецьування та легування наплавленного шару

- Було проведено досліди з наплавлювання в середовищі вуглекислого газу.
- У ВНТУ було запропоновано насичуваті наплавлений шар за допомогою попередньо нанесених вуглецевих матеріалів на наплавлювану поверхню та з легуванням тонким дротом легувального матеріалу.
- Задачою досліду було перевірка та удосконаленення наплавлення в середовищі CO_2 зразка з попередньо нанесеним шаром вуглецевих волокон та легувального матеріалу.
- У якості вулєцевого волокна використовувалося волокно марки УК-30, легувальні дроти, що наносилися на наплавлювальну поверхню дріт з ніхрому Х20Н80 диаметром 1 мм та дріт 0,25 мм з вольфраму марки ВА.
- Наплавлювання виконувалось дротом марки НП -30Х2А в середовищі CO_2 на установці для наплавлення УД-209М

- Наплавлення вели на циліндричні зразки з Сталі 45 ГОСТ 1050-88 діаметром 45 мм.
- Після наплавлення будо отримано зразок



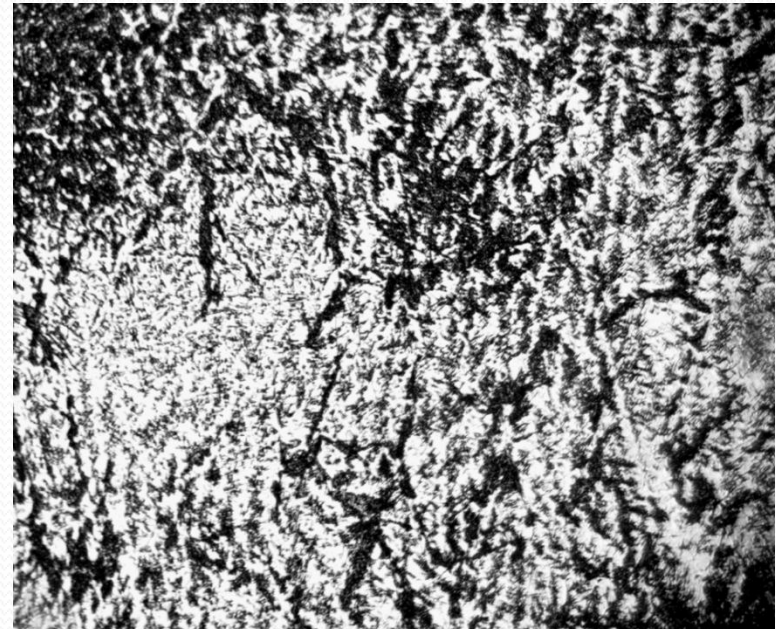
Режими налавлювання

1. Діаметр дроту d_e – 1,6 мм.
2. Напруга на дузі U – 24 В.
3. Сила струму I – 100 А.
4. Швидкість подачі дроту $V_{\text{др}}$ – 104 м/год.
5. Частота обертання наплавлюваної деталі n – 2,5 об/хв.
6. Крок наплавлення t – 2,8 мм.
7. Зміщення дроту відzenіту l – 5 мм.

- Структуру наплавленого шару та ~~перехідної зони~~ вивчали при збільшеннях 100 – 200 раз після травлення 4% розчином HNO_3 в етиловому спирті.



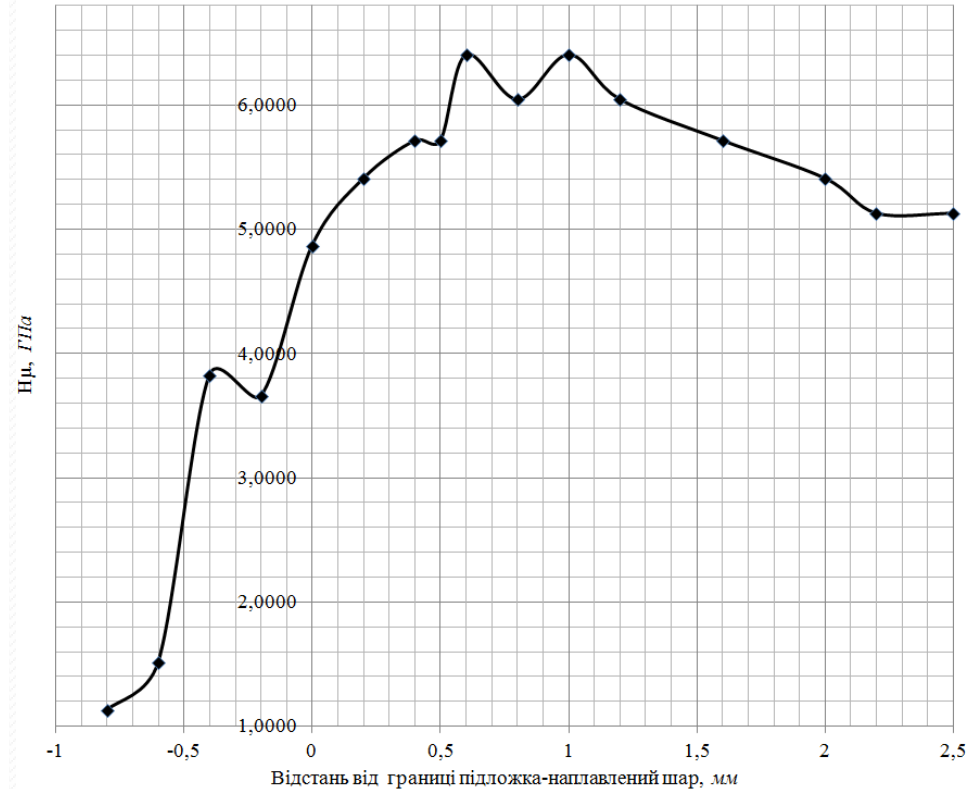
Мікроструктура перехідної зони
наплавлений шар- основа, x100



Мікроструктура наплавленого шару, x200

Дюраметричний аналіз

№	m, g	P, H	α, rad	$d, мкм$	$H\mu, ГПа$
	100	0,98	2,47		
	відстань, мм	$d_1, мкм$	$d_2, мкм$		
1	-0,8	41	40	40,5	1,1282
2	-0,6	35	35	35,0	1,5106
3	-0,4	22	22	22,0	3,8234
4	-0,2	23	22	22,5	3,6554
5	0	20	19	19,5	4,8666
6	0,2	18	19	18,5	5,4070
7	0,4	18	18	18,0	5,7115
8	0,5	18	18	18,0	5,7115
9	0,6	17	17	17,0	6,4032
10	0,8	17	18	17,5	6,0425
11	1	17	17	17,0	6,4032
12	1,2	17	18	17,5	6,0425
13	1,6	18	18	18,0	5,7115
14	2	18	19	18,5	5,4070
15	2,2	19	19	19,0	5,1261
16	2,5	19	19	19,0	5,1261



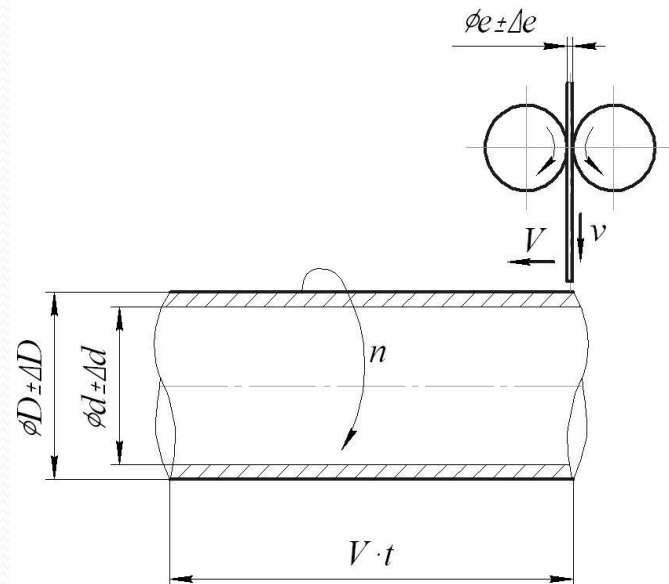
- Виходячи з того, що наплавлення велося на зразок із Сталі 45, яка має ферито-перлітну будову на мікроструктурі переходної зони можна спостерігати навуглецьування матеріалу підложки на глибину 0,2-0,3 мм, що і підтвержують дюраметричні дослідження.
- Наплавлений шар, не відповідає структурі наплавленого металу НП - 30Х2А. Наплавлений шар має дендритну будову, у якій спостерігаються ділянки ледебуриту.
- Таким чином можна стверджувати, що вуглецевий матеріал розчинився у наплавленному металі, у якій увійшли ще попередньо нанесені шари легувальних дротів з вольфраму та ніхрому. Великий вміст нікелю у ніхромі, вочевидь, зменшує твердість наплавленого металу у зв`язку з тим, що стримує карбідоутворення.

Визначення точності наплавлення

- Важливою характеристикою заготовки є її точність та якість. Для штампованих заготовок, з прокату чи виливків є довідникові дані, з яких, в залежності від виду заготовки, способу її виготовлення, можна вznati їхню точність та якість.
- Але для заготовок, отриманих у результаті нанесень покрить, у тому числі наплавлення, дані по точності відсутні.
- Це ускладнює розробку оптимального технологічного процесу подальшої механічної обробки, не дає можливості визначити кількості переходів для подальшої механічної обробки, ускладнює розрахунок припусків, та як наслідок не дає можливості знайти оптимальну товщину наплавленого шару.
- Похибки розміру наплавленої заготовки мають випадковий статистичний характер і тому можуть описуватися теорією імовірності

1 Визначення похибки розміру при наплавленні зовнішньої поверхні заготовки

- Для цього спочатку знаходимо залежність між об'ємом заготовки до наплавлення та після за умови, що густина наплавлюваного металу не змінюється після наплавлення



- Рисунок 1 - Схема наплавлення циліндричної заготовки дротом суцільного перетину

- Об'єм наплавленої заготовки діаметром D можна визначити як суму об'єму циліндричної заготовки (до наплавлення) діаметру d та об'єму наплавленого електродного дроту з урахуванням коефіцієнту втрат на розбризкування та угар ψ .
- Таким чином, об'єм наплавленої деталі можна записати, як:

$$\frac{\pi \cdot D^2}{4} \cdot V \cdot t = \frac{\pi \cdot d^2}{4} \cdot V \cdot t + v \cdot t \cdot \frac{\pi \cdot e^2}{4} \cdot (1 - \psi). \quad (1)$$

- Звідки:

$$D = (d^2 + v \cdot \frac{e^2}{V} \cdot (1 - \psi))^{0.5}. \quad (2)$$

- Тоді діаметр наплавленої заготовки у формі функції:

$$D(d, v, e, \psi, V) = (d^2 + v \cdot \frac{e^2}{V} \cdot (1 - \psi))^{0.5}. \quad (3)$$

Таблиця 1. Складові похибки діаметра наплавленої ціліндричної поверхні

№	Складові похибки діаметра наплавленої ціліндричної поверхні	Позначення	Для зовнішньої поверхні
1	від похибки на діаметр заготовки	Δ_1	$\frac{d}{(d^2 + \frac{v \cdot e^2 \cdot (1-\psi)}{V})^{0,5}} \cdot \Delta_d$
2	від похибки швидкості подачі електродного дроту Δv	Δ_2	$\frac{e^2 \cdot (1-\psi)}{(d^2 + \frac{v \cdot e^2 \cdot (1-\psi)}{V})^{0,5} \cdot V} \cdot \Delta v$
3	від похибки на діаметр електродного дроту e	Δ_3	$\frac{2 \cdot v \cdot e \cdot (1-\psi)}{(d^2 + \frac{v \cdot e^2 \cdot (1-\psi)}{V})^{0,5} \cdot V} \cdot \Delta e$
4	від похибки на коефіцієнт втрат ψ	Δ_4	$-\frac{v \cdot e^2}{(d^2 + \frac{v \cdot e^2 \cdot (1-\psi)}{V})^{0,5} \cdot V} \cdot \Delta \psi$
5	від похибки швидкості пересування дуги вздовж осі заготовки V	Δ_5	$-\frac{0,5 \cdot v \cdot e^2 \cdot (1-\psi)}{(d^2 + \frac{v \cdot e^2 \cdot (1-\psi)}{V})^{0,5} \cdot V^2} \cdot \Delta V$

- При вирогідностному методі розрахунку, якщо похибки незалежні одна від одної маємо:

$$\Delta_{\Sigma} = \frac{1}{K} \cdot \sqrt{\sum_1^5 (K_i \cdot \Delta_i)^2},$$

- де K_i – коефіцієнт відносного розсіювання, який характеризується відношенням поля розсіювання похибки при нормальному законі розподілу (К) до дісного поля розсіювання; i – індекс елементарної похибки.
- Для нормального закона розподілу $K_i=1$; для закону рівної вирогідності $K_i=1,73$; при композиції закона рівної вирогідності та нормальноного закону $K_i=1,2\dots1,5$; для законів Сімсона $K_i=1,22$; Релея $K_i=1,097$; та Максвела $K_i=1,13$.

- Користуючись залежністю отримуємо абсолютну похибку на діаметр наплавленої циліндричної деталі:

- $$\Delta D = \Delta_{\Sigma} = \frac{1}{K} \cdot \sqrt{(K_1 \cdot \Delta_1)^2 + (K_2 \cdot \Delta_2)^2 + (K_3 \cdot \Delta_3)^2 + (K_4 \cdot \Delta_4)^2 + (K_5 \cdot \Delta_5)^2}.$$

- У тому разі якщо коефіцієнти розподілу $K_i=1$ (при нормальному розподілі) формула (5) набуває вигляду:

- $$\Delta D = \Delta_{\Sigma} = \sqrt{\Delta_1^2 + \Delta_2^2 + \Delta_3^2 + \Delta_4^2 + \Delta_5^2}.$$

Вихідні данні:

Діаметр заготовки перед наплавленням $d=44$ мм

Похибка на діаметр заготовки перед наплавленням $\Delta d=0,008$ мм

Діаметр електродного дроту $e=1,2$

Похибка на діаметр електродного дроту $\Delta e=0,015$ мм

Швидкість подачі електродного дроту $v=2116,6$ мм/хв

Похибка на швидкість подачі електродного дроту $\Delta v=52$ мм/хв.

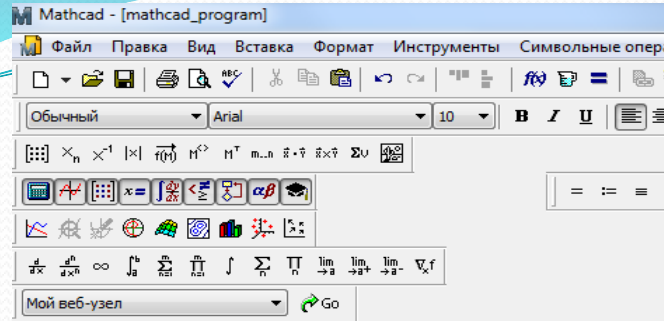
Швидкість пересування дуги вздовж осі заготовки $V=9$ мм/хв

Похибка на швидкість пересування дуги вздовж осі загот. $\Delta V=0,9$ мм/год

Коефіцієнт втрат на розбризкування та угар $\Psi=0,125$

Похибка на коефіцієнт втрат $\Delta \Psi=0,025$

Вид похибки	Позначення		Значення,мм
	В тексті	В Mathcad	
Складова похибки діаметра наплавленої поверхні, яка залежить від від похибки на діаметр заготовки Δd до наплавлення	$\Delta 1$	S_d	0,0075
Складова похибки, яка залежить від від похибки швидкості подачі електродного дроту Δv	$\Delta 2$	S_v	0,154
Складова похибки, що залежить від від похибки діаметра електродного дроту Δe	$\Delta 3$	S_{e1}	0,157
Складова похибки діаметра, що залежить від похибки на коефіцієнт втрат $\Delta \psi$	$\Delta 4$	S_p	0,179
Складова похибки, що виникає внаслідок похибки швидкості пересування дуги вздовж осі заготовки ΔV	$\Delta 5$	S_V	0,314
Сумарна похибка	ΔD	ΔD	0,423



$d := 44$ (Діаметр заготовки)

$\Delta d := 0.008$ (Похибка на діаметр заготовки)

$e1 := 1.2$ (Діаметр електродного дроту)

$\Delta e1 := 0.015$ (Похибка на діаметр електродного дроту)

$v := 2116.6$ (Швидкість подачі електродного дроту)

$\Delta v := 52$ (Похибка на швидкість подачі електродного дроту)

$V1 := 9$ (Швидкість пересування дуги вздовж осі заготовки)

$\Delta V1 := 0.9$ (Похибка на швидкість пересування дуги вздовж осі заготовки)

$p := 0.125$ (Коефіцієнт втрат на розбризкування та угар)

$\Delta p := 0.025$ (Похибка на коефіцієнт втрат)

(Похибка заготовки)

$$Sd := \left| \frac{d}{\left[d^2 + \frac{\nu \cdot e1^2 \cdot (1-p)}{V1} \right]^{0.5}} \cdot \Delta d \right| = 7.45 \times 10^{-3} \quad (5.1)$$

(Похибка швидкості дроту)

$$Sv := \left| \frac{e1^2 \cdot (1-p)}{\left[d^2 + \frac{\nu \cdot e1^2 \cdot (1-p)}{V1} \right]^{0.5}} \cdot \Delta v \right| = 0.154 \quad (5.2)$$

(Похибка діаметру електродного дроту)

$$Se1 := \left| \frac{2 \cdot \nu \cdot e1 \cdot (1-p)}{\left[d^2 + \frac{\nu \cdot e1^2 \cdot (1-p)}{V1} \right]^{0.5}} \cdot \Delta e1 \right| = 0.157 \quad (5.3)$$

(Похибка коефіцієнту втрат)

$$Sp := \left| \frac{\nu \cdot e1^2}{\left[d^2 + \frac{\nu \cdot e1^2 \cdot (1-p)}{V1} \right]^{0.5}} \cdot \Delta p \right| = 0.179 \quad (5.4)$$

(Похибка дуги)

$$Sv1 := \left| \frac{0.5 \cdot \nu \cdot e1^2 \cdot (1-p)}{\left[d^2 + \frac{\nu \cdot e1^2 \cdot (1-p)}{V1} \right]^{0.5}} \cdot V1^2 \right| \cdot \Delta V1 = 0.314 \quad (5.5)$$

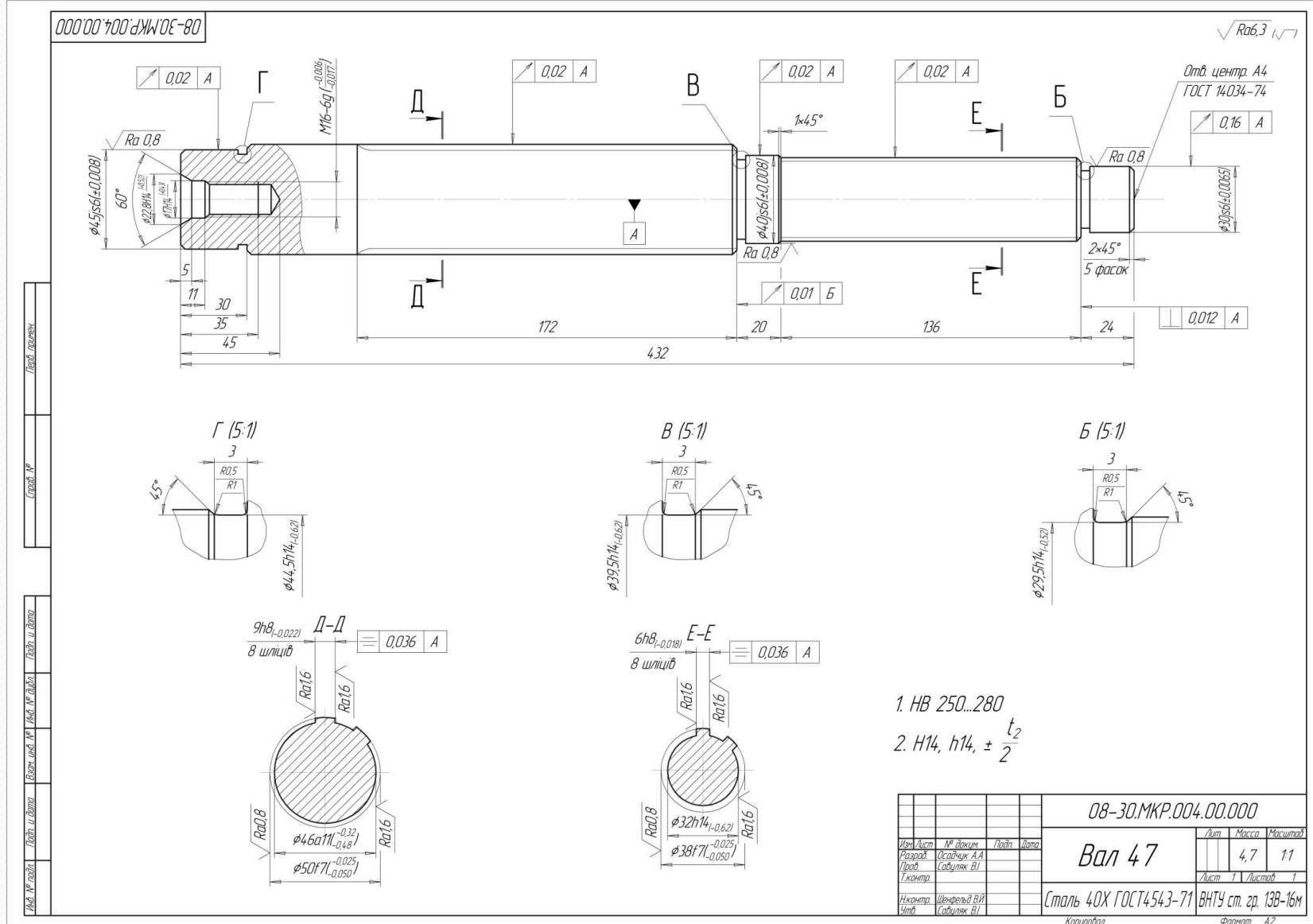
(Абсолютна похибка наплавленої заготовки за методом "максимума-мінімум")

$$\Delta D := \sqrt{Se1^2 + Sp^2 + Sv1^2 + Sv^2 + Sd^2} = 0.423 \quad (5.6)$$

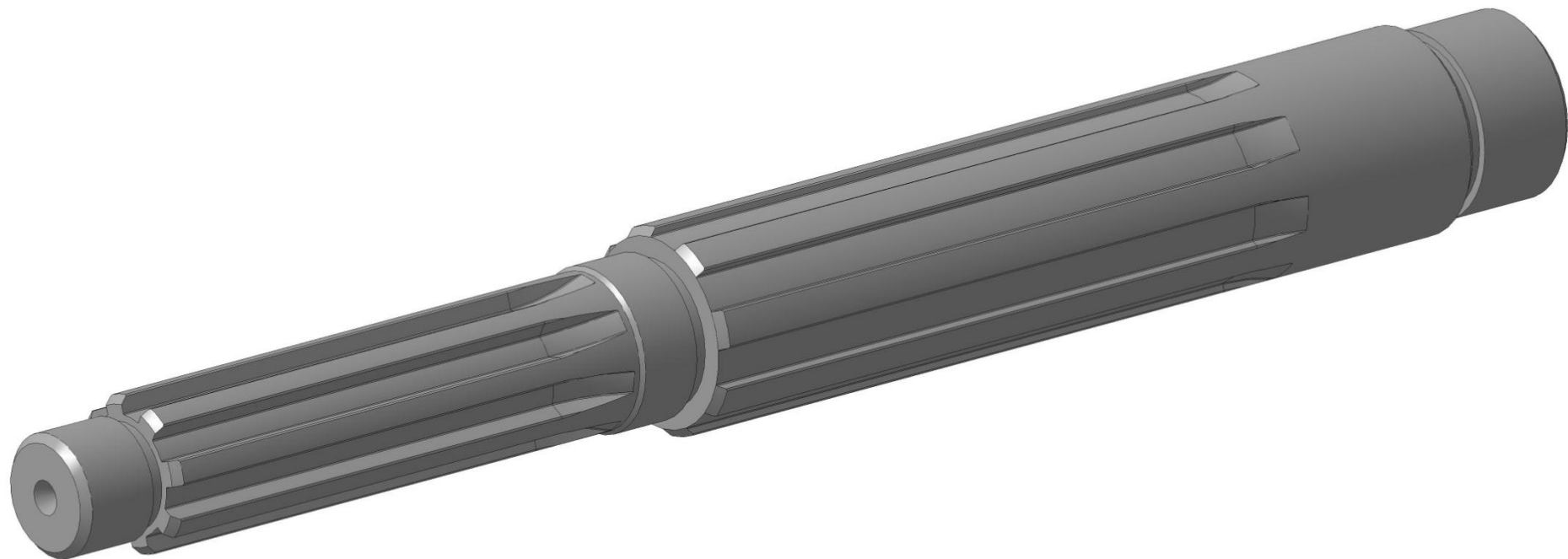
(Абсолютна похибка наплавленої заготовки за вирогідностним методом)

$$\Delta D1 := Se1 + Sp + Sv1 + Sv + Sd = 0.811 \quad (5.7)$$

Робоче креслення



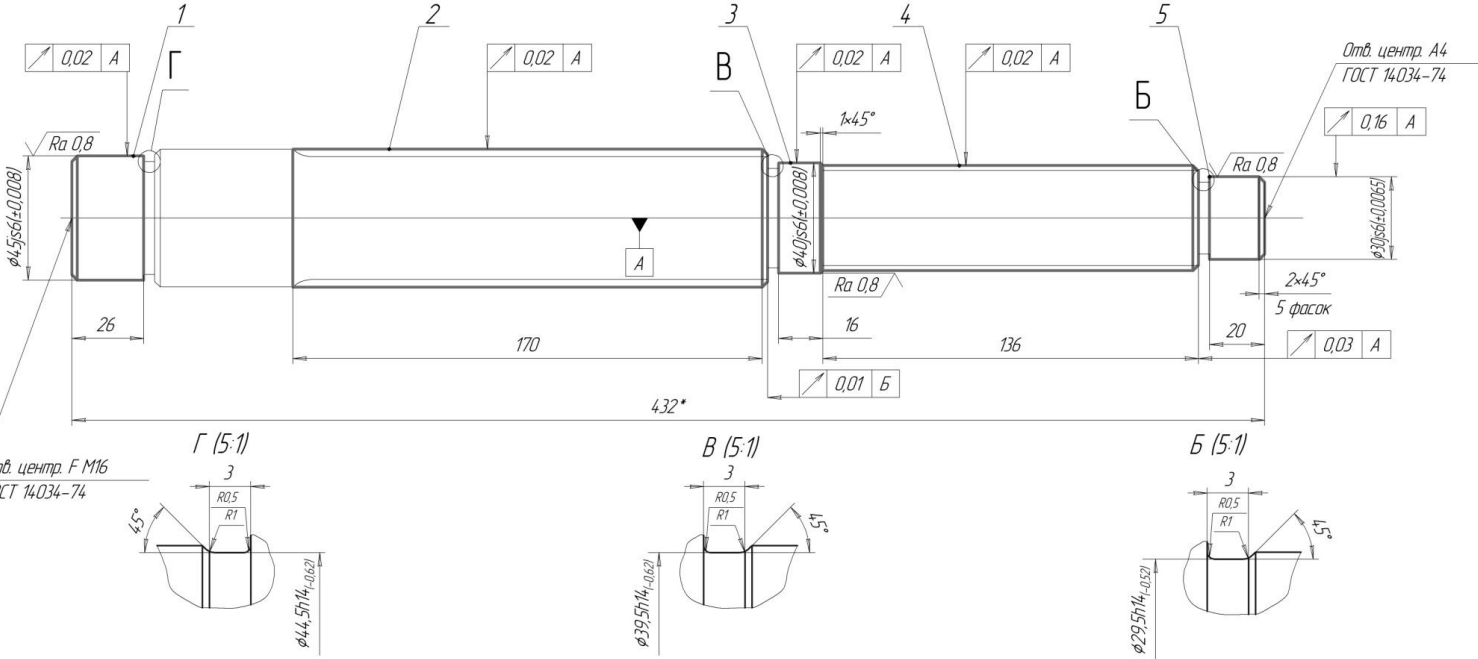
3D Модель валу 47



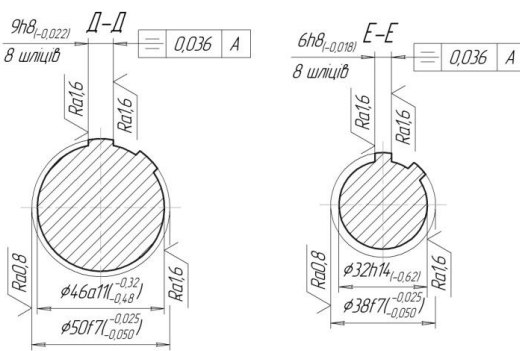
Ремонтне креслення

08-30.MKR.004.00.002 Р

$\sqrt{Ra6.3}$



Номер дефекту	Наименування дефекту	Коефіцієнт поділової висоти дефекту від загальної кількості деталей, що надходять на обробку	Коефіцієнт поділової висоти дефекту від загальної кількості ремонтно-підібічних деталей	Основний спосіб усунення дефекту	Допустимий спосіб усунення дефекту
1	Знос шлифованої поверхні балки $\phi 5$ мм	0.6	0.8	Надрізання у СО	Газотермичне наповнення
2	Знос поверхні шийки $B=8$ мм	0.7	0.8	Надрізання у СО	Відробка наплавка
3	Знос шлифованої поверхні балки $\phi 5$ мм	0.8	0.8	Надрізання у СО	Газотермичне наповнення
4	Знос поверхні шийки $B=8$ мм	0.6	0.8	Надрізання у СО	Відробка наплавка
5	Знос шлифованої поверхні балки $\phi 5$ мм	0.7	0.8	Надрізання у СО	Газотермичне наповнення



1. *Размежі для справок

$$2. H14, h14, \pm \frac{t_2}{2}$$

08-30.MKR.004.00.002 Р		
Інд. лист	№ докум.	Підп. Підп.
Розпод.	Складчик АА Складчик ВІ	11
Грав.	(Ремонтне креслення)	
Грані		
Наконеч.	Шайба зірка ВІ Чіпфа Сайлінг ВІ	
Сталь 40Х ГОСТ 74543-71	13В-16М	
Копіювало	Формат	A2

Маршрутна карта

Технологічний процес відновлення валу 47 бабки передньої 16К20

Nр	Найменування операції та технологічні переклади	Схема діаграми	Опис
005	Ізотермоблоки по зварюванню		Сполучено - комора машини (НЧ-4610)
006	2. Мити деталь розчином "Ладонь".		
010	1. Чистотоблоки зварювання зварювальний стіл 2. Вивантажи фасетки деталі з обробленої гладкою 3. Виконати контроверні пропарки 44.9, 39.9, 29.9, 8.9, 5.9		1. Дефектовальний стіл 2. Підсушувальний пристрій ГОСТ 166-89 Лиц. ТДО-306024/11-Г-80
015	Відпук		Лівий
	Токарна		
	1. Чистотоблоки за зварюванням деталі, Чистота № 1		
	2. Точити под 2 обробляти в розмір $\varnothing 46_{-0.05}^{+0.05}$ мм		
	3. Точити под 3 обробляти в розмір $\varnothing 39_{-0.05}^{+0.05}$ мм		
020	4. Точити под 4 обробляти в розмір $\varnothing 32_{-0.05}^{+0.05}$ мм		
	5. Точити под 5 обробляти в розмір $\varnothing 29_{-0.05}^{+0.05}$ мм		
	6. Проведення розмірів.		
	Чистота № 2		
	7. Точити под 1 обробляти в розмір $\varnothing 44_{-0.05}^{+0.05}$ мм		
	8. Зняття деталі		
			Лакиро-збрінчонизмінний верстат 16К20
025	Наплавлювальна		
	1. Чистотоблоки по зварюванням деталі, Чистота № 1		
	2. Наплавлювати поверхні 2 до $\varnothing 45_{-0.05}^{+0.05}$ мм		
	3. Наплавлювати поверхні 3 до $\varnothing 43_{-0.05}^{+0.05}$ мм		
	4. Наплавлювати поверхні 4 до $\varnothing 36_{-0.05}^{+0.05}$ мм		
	5. Наплавлювати поверхні 5 до $\varnothing 32_{-0.05}^{+0.05}$ мм		
	6. Проведення розмірів.		
	Чистота № 2		
	7. Наплавлювати поверхні 1 до $\varnothing 47_{-0.05}^{+0.05}$ мм		
	8. Зняття деталі		
			Чистота для наплавлення ЧВ-209М Балон з флюсом із сажею
030	Токарна		
	1. Чистотоблоки за зварюванням деталі, Чистота № 1		
	2. Точити под 2 обробляти в розмір $\varnothing 51_{-0.05}^{+0.05}$ мм		
	3. Точити под 3 обробляти в розмір $\varnothing 42_{-0.05}^{+0.05}$ мм		
	4. Точити под 4 обробляти в розмір $\varnothing 40_{-0.05}^{+0.05}$ мм		
	5. Точити под 5 обробляти в розмір $\varnothing 39_{-0.05}^{+0.05}$ мм		
	6. Точити под 6 обробляти в розмір $\varnothing 38_{-0.05}^{+0.05}$ мм		
	7. Точити под 7 обробляти в розмір $\varnothing 37_{-0.05}^{+0.05}$ мм		
	8. Точити под 8 обробляти в розмір $\varnothing 30_{-0.05}^{+0.05}$ мм		
	9. Точити под 9 обробляти в розмір $\varnothing 20_{-0.05}^{+0.05}$ мм		
	10. Проведення розмірів.		
	Чистота № 2		
	11. Точити под 1 обробляти в розмір $\varnothing 45_{-0.05}^{+0.05}$ мм		
	12. Точити под 1 обробляти в розмір $\varnothing 45_{-0.05}^{+0.05}$ мм		
	13. Зняття деталі		
			Лакиро-збрінчонизмінний верстат 16К20
035	Нарядження шлифування		
	1. Чистотоблоки по зварювання:		
	2. Фрезерування, поборіння 4 по ширині 6 та по довжині 160 мм		
	3. Фрезерування, поборіння 2 по ширині 9 та по довжині 512 мм		
	4. Зняття деталі.		
			Горизонтально-фрезерний широко універсальний консольно-броварний
040	Загортафлення		
	Точечна		
	Шлифування		
	1. Чистотоблоки зварювання		
	2. Шлифування поборіння 2 по розміру $\varnothing 50_{-0.05}^{+0.05}$ мм		
	3. Шлифування поборіння 2 по розміру $\varnothing 45_{-0.05}^{+0.05}$ мм		
	4. Шлифування поборіння 3 по розміру $\varnothing 40_{-0.05}^{+0.05}$ мм		
	5. Шлифування поборіння 3 по розміру $\varnothing 30_{-0.05}^{+0.05}$ мм		
	6. Шлифування поборіння 4 по розміру $\varnothing 38_{-0.05}^{+0.05}$ мм		
	7. Шлифування поборіння 4 по розміру $\varnothing 30_{-0.05}^{+0.05}$ мм		
	8. Шлифування поборіння 5 по розміру $\varnothing 30_{-0.05}^{+0.05}$ мм		
	9. Шлифування поборіння 5 по розміру $\varnothing 30_{-0.05}^{+0.05}$ мм		
	10. Шлифування поборіння 1 по розміру $\varnothing 45_{-0.05}^{+0.05}$ мм		
	11. Шлифування поборіння 1 по розміру $\varnothing 45_{-0.05}^{+0.05}$ мм		
	12. Зняття деталі.		
			Шлифувальний верстат ЗАПІДА Шлифувальний круж 4075УМК6 Шлифувальний круж 2075УМК6

08-30МКР.004.00.003.Л/Л	Маршрутна карта	ВНТУ 138-164
1	2	3
4	5	6
7	8	9

08-30БДР010.00.000.П/І

№	Наименування операцій та технічних переходів	Схема дозування	Обладнання
050	<p>Шліцепшлифувальна</p> <p>1. Установити деталь; 2. Шліфувати поверхню 2 по ширині 9_{-0.02} мм та довжині 172 мм; 3. Шліфувати поверхню 4 по ширині 6_{-0.02} мм та довжині 135 мм; 4. Знятий деталь.</p>		Шліцепшлифувальний 3451
055	<p>Контрольна</p> <p>1. Установити деталь; 2. Виконати контрольні проміри поверхонь 1-5 згідно ремонтного креслення.</p>		Контрольний стіл Інструмент для биметричного (Мікрометр, штангенциркуль)

Номер документу	Підготовка	Виконання	Підготовка	Підготовка
-----------------	------------	-----------	------------	------------

Номер документу	№ документу	Підготовка	Підготовка
-----------------	-------------	------------	------------

08-30БДР010.00.000.П/І

Лист

Копіювати

Формат А2

• Загальний висновок

- В даній магістерській кваліфікаційній роботі досліджено процеси контактного плавлення в системі залізо – нановуглецеві матеріали та умови його початку. Визначено оптимальні методи використання явища контактного плавлення для отримання зносостійких покривтів.
- Розроблено метод визначення точності наплавлених заготовок при автоматичному електродуговому наплавленні для внутрішніх і зовнішніх поверхонь циліндричних деталей.
- Запропоновано та досліджено електроконтактний спосіб навуглецьовування. Розроблено дослідну установку для електроконтактного навуглецьовування сталевих поверхонь з використанням наноматеріалів що дозволило отримати на поверхні сталі модифікований шар білого чавуну товщиною 2.5-3.2 мм, що дозволило значно підвищити зносостійкість поверхні даної деталі
- Розроблено технічний процес відновлення валу 47 передньої бабки 16К20, розраховано режими обробки даної деталі.



Дякую за увагу